

# Kvantno tuneliranje magnetizacije: magnetske nanočestice i jednomolekulski magneti

Damir Pajić

FO@PMF

Seminar iz fizike čvrstog stanja

Poslijediplomski studij

08.04.2003.

” Koji prirodni zakon čini  
da ovaj kamen privlači  
željezo k sebi.

Grci su ga nazvali po mjestu  
gdje je nađen ...

I taj kamen još uvijek  
začuduje ljude.”

Lukrecije, 99.-55. pr.Kr.

# Fizika magnetizma

- \* Međudjelovanje na atomskoj razini
  - ◇ Heisenberg, Ising, Fermijeve tekućine, Hubbard
  - ◇ osnovno stanje, pobuđenja
  - ◇ lokalna gustoća spina, saturacija, toplinski kapacitet
- \* Magnetska svojstva mezoskopskih magneta ( $100\text{\AA}$  ...)
  - ◇ irelevantna atomska razina
  - ◇ slaba međudjelovanja: anizotropija, magnetski dipoli, defekti, nečistoće, ...
- \* Makroskopski magneti

# Mikromagnetizam

Jednadžba gibanja:

$$\frac{\partial \vec{M}}{\partial t} = -\gamma \vec{M} \times \frac{\delta E}{\delta \vec{M}}$$

- \* Opis i do dimenzija nekoliko konstanti rešetke
  - ◇ ravnotežna konfiguracija
  - ◇ gibanje domenskih zidova
  - ◇ feromagnetska rezonancija
  - ◇ spinski valovi

# Makroskopski magnetski moment

Jako međudjelovanje izmjene

- \* ukupni magnetski moment 1000 atoma ponaša se kao jedinstvena veličina

$$M_i M_j - M_j M_i = 2i\mu_B \epsilon_{ijk} M_k$$

- \* makroskopskim mjerenjem moguće je odrediti  $\vec{M}$

# Kvantno tuneliranje

Tuneliranje makroskopskog  $\vec{M}$  između klasičnih stabilnih konfiguracija

\* Razlozi pažnje

- ◇ kvantna mehanika na makroskopskoj razini?
- ◇ magnetski instanton

\* Prepreka ?

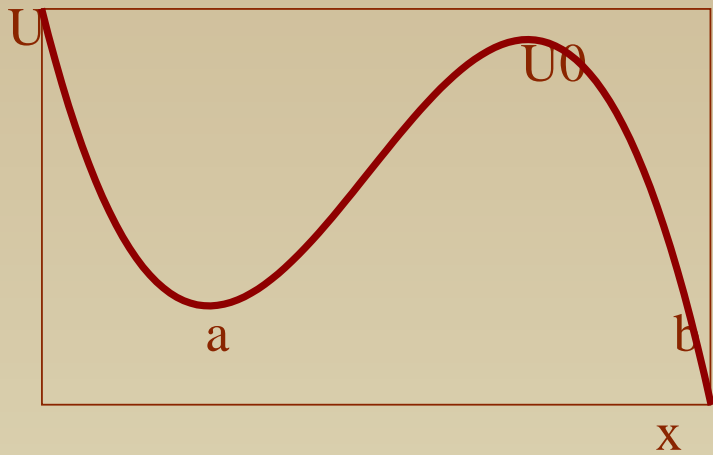
- ◇  $e^{-I_{ef}/\hbar}$

- ◇ magnetizacija može postati "laka" objekt za tuneliranje

Makroskopsko kvantno tuneliranje (MQT):

Caldeira & Leggett, PRL 46 (1981) 211

# Tuneliranje



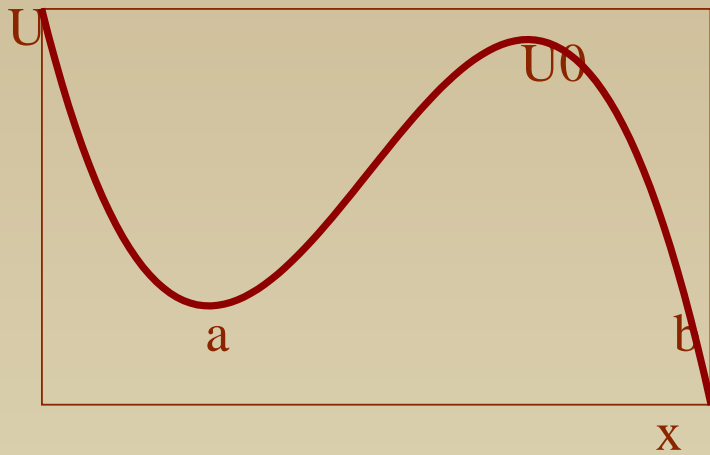
$$\text{WKB: } \Gamma = Ae^{-B}$$

$$A \approx \omega_a$$

$$B = 2 \left| \int_a^b p dx \right| / \hbar$$

$$k_B T \ll \hbar \omega_0$$

# Tuneliranje

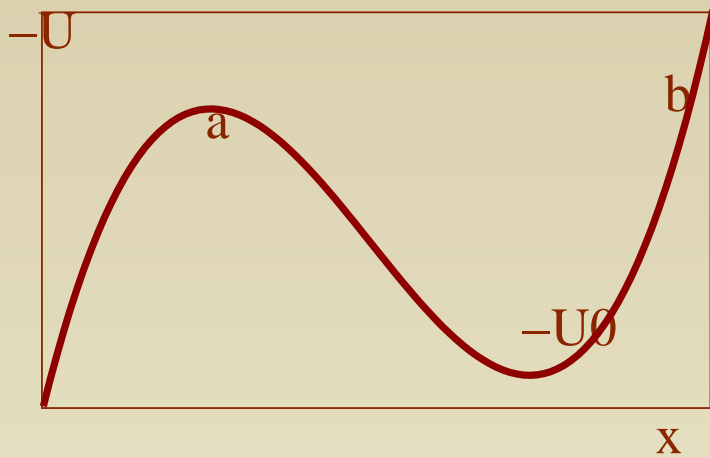


$$\text{WKB: } \Gamma = Ae^{-B}$$

$$A \approx \omega_a$$

$$B = 2 \left| \int_a^b p dx \right| / \hbar$$

$$k_B T \ll \hbar \omega_0$$



$$\tau = it$$

$$\ddot{x}_\tau = \frac{\partial U}{\partial x}$$

# Monodomenske čestice

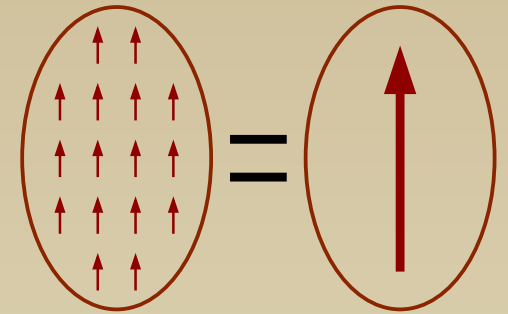
- \* Heisenbergovo međudjelovanje
  - ◇  $\epsilon_{ex} \simeq 1eV \cdot \text{matr.el.prekl.v.f.}$
  - ◇ vjerojatnost okretanja  $e^{-\epsilon_{ex}/T}$

# Monodomenske čestice

\* Heisenbergovo međudjelovanje

◇  $\epsilon_{ex} \simeq 1eV \cdot \text{matr.el.prekl.v.f.}$

◇ vjerojatnost okretanja  $e^{-\epsilon_{ex}/T}$

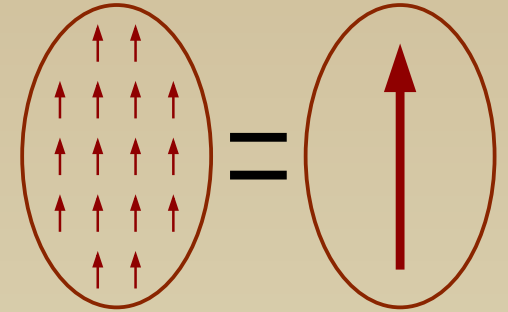


# Monodomenske čestice

- \* Heisenbergovo međudjelovanje

- ◇  $\epsilon_{ex} \simeq 1eV \cdot \text{matr.el.prekl.v.f.}$

- ◇ vjerojatnost okretanja  $e^{-\epsilon_{ex}/T}$



- \* Anizotropija

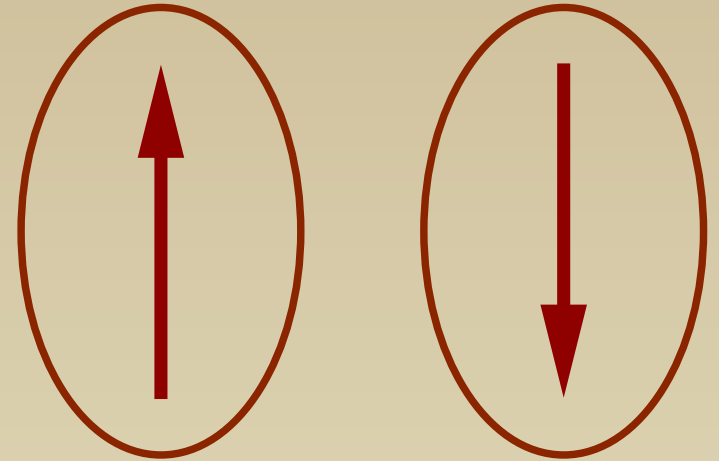
- ◇ okretanje  $\vec{M}$

  - ◇ simetrija i osi

- ◇  $\epsilon_{an} \approx (v/c)^2 \cdot \epsilon_{ex}$

- \* Potvrđeno eksperimentima

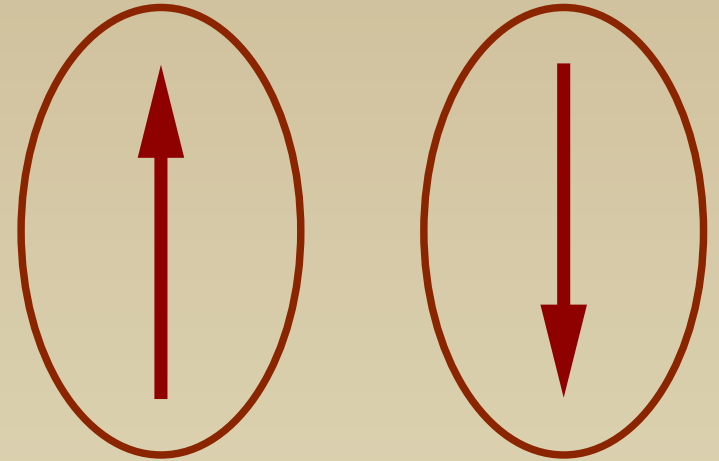
# Promjena smjera $\vec{M}$



\*  $e^{-\frac{U}{T}}$

- ◇  $T > T_B$  ... superparamagnet
- ◇  $T < T_B$  ... blokiranje spina

# Promjena smjera $\vec{M}$



\*  $e^{-\frac{U}{T}}$

- ◇  $T > T_B$  ... superparamagnet
- ◇  $T < T_B$  ... blokiranje spina

\* Tuneliranje

# Rješavanje problema

$$\frac{\partial \vec{M}}{\partial t} = -\gamma \vec{M} \times \frac{\delta E}{\delta \vec{M}}$$

$$(M, \theta, \phi): \vec{M} \rightarrow (M \sin \theta \sin \phi, M \sin \theta \cos \phi, M \cos \theta)$$

$$\frac{d\phi}{dt} = -\frac{\gamma}{M \sin \theta} \frac{\partial E}{\partial \theta}, \quad \frac{d\theta}{dt} = -\frac{\gamma}{M \sin \theta} \frac{\partial E}{\partial \phi}$$

$$\mathcal{L} = p\dot{x} - E(x, p) = \frac{M}{\gamma} \dot{\phi} \cos \theta - E(\theta, \phi) + \frac{df(\theta, \phi)}{dt}$$

$$\dot{x} = \frac{\partial E}{\partial p}, \quad \dot{p} = -\frac{\partial E}{\partial x}, \quad f = \frac{M}{\gamma} \phi$$

$$I = \int dt \mathcal{L} = \int dt \left( \frac{M}{\gamma} \dot{\phi} (\cos \theta - 1) - E(\theta, \phi) \right)$$

Izračunavanje eksponenta tuneliranja ...

# Modeliranje energije $E(\theta, \phi)$

\* Jednoosna anizotropija u Z smjeru u transverzalnem magnetskom polju u X smjeru

$$\diamond E = V(K \sin^2 \theta - H M_0 \sin \theta \cos \phi)$$

\* X-Y ravnina lakog magnetiziranja i X os lakog magnetiziranja i primijenjeno magnetsko polje u -X smjeru

$$\begin{aligned} \diamond E &= k_{\perp} M_z^2 - k_{\parallel} M_x^2 + M_x H = \\ &= V(K_{\perp} \cos^2 \theta - K_{\parallel} \sin^2 \theta \cos^2 \phi + M_0 H \sin \theta \cos \phi) \end{aligned}$$

Računamo:  $\phi(\tau)$ ,  $\theta(\tau)$ ,  $\Gamma$ ,  $T_C$ , ...

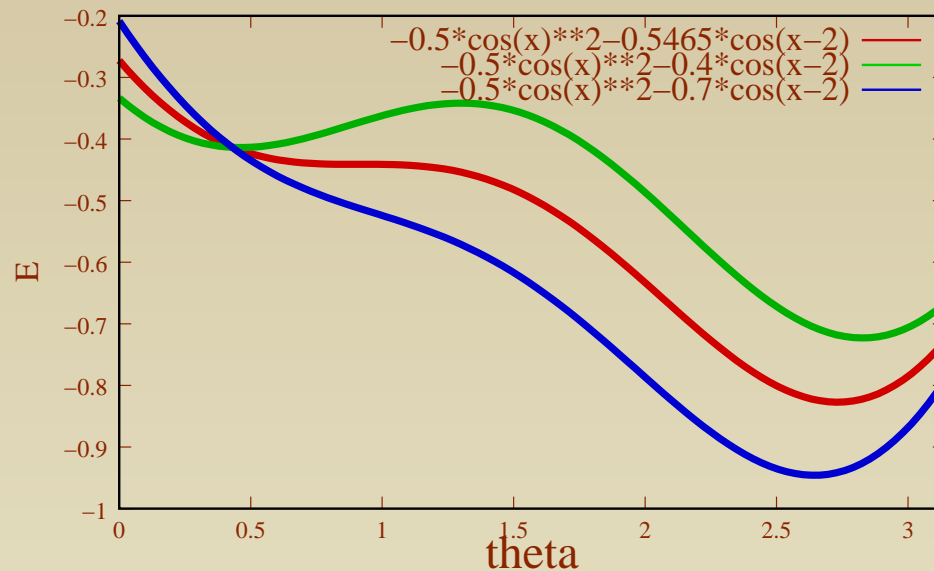
Chudnovsky & Gunther, PRL 60 (1988) 661

# Jednoosna anizotropija i polje

$$E = -kM_z^2 - M_x H_x - M_z H_z =$$

$$= -H_a M \left( \frac{1}{2} \cos^2 \theta + h_z \cos \theta + h_x \sin \theta \cos \theta \right)$$

$$H_a = 2kM, h_{x,z} = H_{x,z}/H_a$$



$$E_\theta = -\left( \frac{1}{2} \cos^2 \theta - h \cos(\theta - \theta_H) \right)$$

$$h_c = \left( \sin^{2/3} \theta_H + |\cos^{2/3} \theta_H| \right)^{-3/2}$$

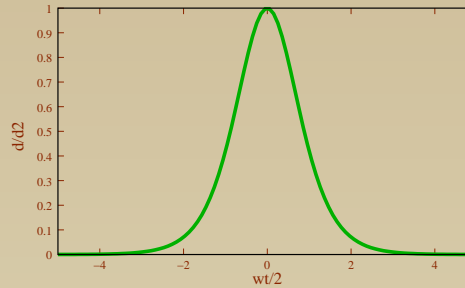
# Rješavanje problema

- \* Promatramo:  $h = h_c(1 - \epsilon)$
- \* Uvodimo:  $\delta = \theta - \theta_0$
- \* Djelovanje:  $I = -\hbar S \int d\bar{\tau} \bar{\mathcal{L}}_E$
- \* Euler-Lagrange jednadžbe (ekstremalne trajektorije)
  - ◇ Instanton: rotacija  $\vec{M}$  ispod barijere (*spori* instanton)
- \* Integracija po putanjama:  $\int \mathcal{D}\{\phi(\tau)\} \int \mathcal{D}\{\cos \theta(\tau)\} e^{-\frac{I}{\hbar}}$

# Rješenje problema

Ekstremalna putanja:

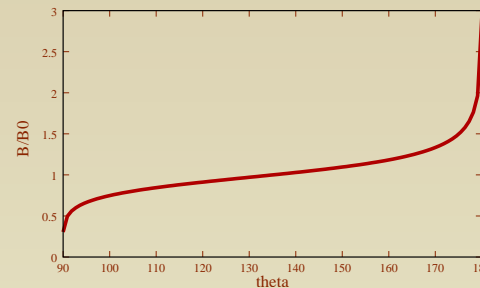
$$* \delta(\tau) = \frac{\delta_2}{\text{ch}^2(\omega_0 \tau / 2)}$$



$$* \text{Konstanta: } \omega_0 = (6\epsilon)^{1/4} \frac{|\text{ctg}\theta_H|^{1/6}}{1 + |\text{ctg}\theta_H|^{2/3}} \omega_a$$

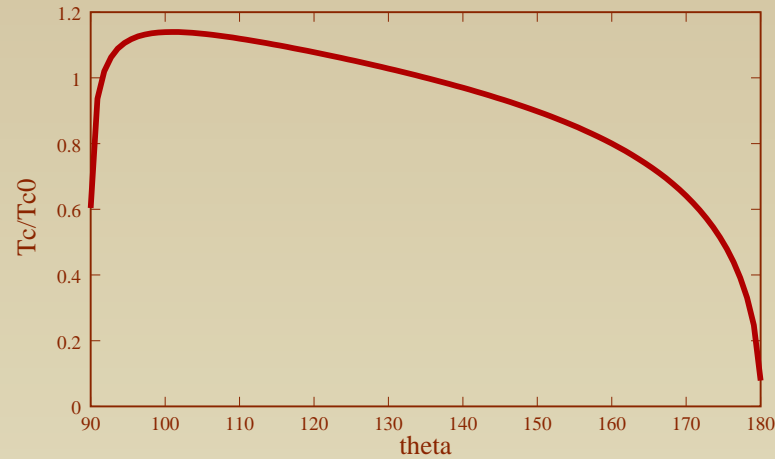
\* Eksponent tuneliranja:

$$B = \frac{16 \sqrt[4]{6}}{5} S \epsilon^{5/4} |\text{ctg}\theta_H|^{1/6}$$



# ”Kvantna” temperatura

\* Prijelaz:  $B \approx \frac{U}{T}$

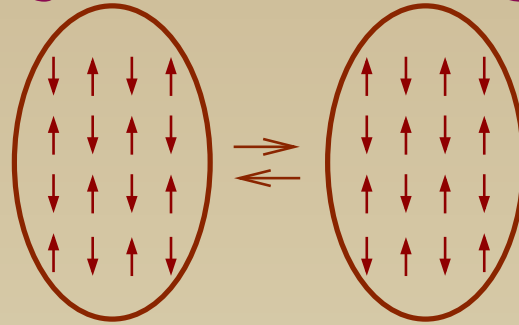


\*  $T_c = \frac{5}{36} \hbar \omega_0$

# Eksperimentalna perspektiva

- \* Slobodni parametri:  $\theta_H$ ,  $\epsilon = 1 - H/H_c$ ,  $T$
- \*  $T_c \propto H_a$ ,  $T_c \propto \epsilon^{1/4}$
- \*  $H_a = 1T$ ,  $\epsilon = 10^{-3}$ ,  $T_c(135^\circ) \approx 30mK$
- \*  $\Gamma \propto 10^{11}s^{-1} \cdot e^{-B}$ 
  - ◇  $B < 25 - 30 \Rightarrow$  tuneliranje prebrzo i teško primjetljivo
  - ◇  $B > 30 - 35 \Rightarrow$  metastabilno stanje traje znatno dulje od eksperimenta
  - ◇  $B \simeq 30$ : mjerljivo MQT
- \*  $\epsilon \simeq 10^{-3} \Rightarrow S \simeq 3 \cdot 10^4$   
Drugi:  $K_{\parallel}, K_{\perp} \simeq 10^6 - 10^8 erg/cm^3$ ,  $S \simeq 10^2 - 10^5$ ,  $T_c \simeq 1K$

# Tuneliranje Néelovog vektora



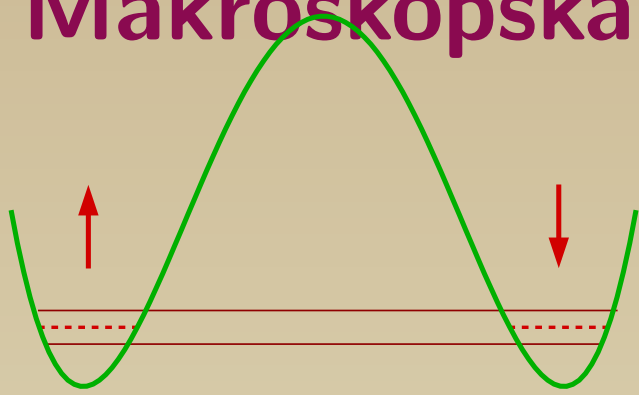
- \* Veća anizotropija i izraženije tuneliranje nego kod FM
- \* Detekcija nekompensiranih spinova

$$* \Gamma \approx |\cos(s\pi)| \omega_0 e^{-\frac{2V}{\hbar\gamma} \sqrt{2\chi_{\perp} K_{\parallel} + m^2 \frac{K_{\parallel}}{K_{\perp}}}}$$

$$\omega_0 = 2\gamma \sqrt{\frac{K_{\parallel} K_{\perp}}{m^2 + 2\chi_{\perp} K_{\perp}}}$$

- \*  $T_c \simeq \mu_B \sqrt{H_{\parallel} H_{ex}}$ , (nekoliko K)
- \* Tuneliranje  $10^3 - 10^4$  magnetskih atoma

# Makroskopska kvantna koherencija (MQC)



$$\Delta = \hbar\Gamma$$

$$|0\rangle = \frac{1}{\sqrt{2}}(|\uparrow\rangle + |\downarrow\rangle)$$

$$|1\rangle = \frac{1}{\sqrt{2}}(|\uparrow\rangle - |\downarrow\rangle)$$

$$\langle \vec{M}(t) \cdot \vec{M}(0) \rangle = M_0^2 \cos(\Gamma t)$$

- \* Rezonantna apsorpcija pri AC polju od  $\omega = \Gamma$
- \* Međudjelovanje  $\vec{M}$  i okoline uništava koherentne oscilacije
- \* Što veća makroskopsnost, to lomljivija koherentnost ( $\Gamma \simeq 1s^{-1}$ , međudjelovanje  $10^{-15}eV$ )
- \* Antiferomagnet - dobar kandidat za MQC (100 atoma, nisko polje i temperatura)
- \* Nekoherentno tuneliranje nije tako osjetljivo na međudjelovanje s okolinom

# Eksperimentalne činjenice i tuneliranje

## \* Nanomagnetni

- ◇ jednodomenske magnetske nanočestice
- ◇ jednomolekulski magneti

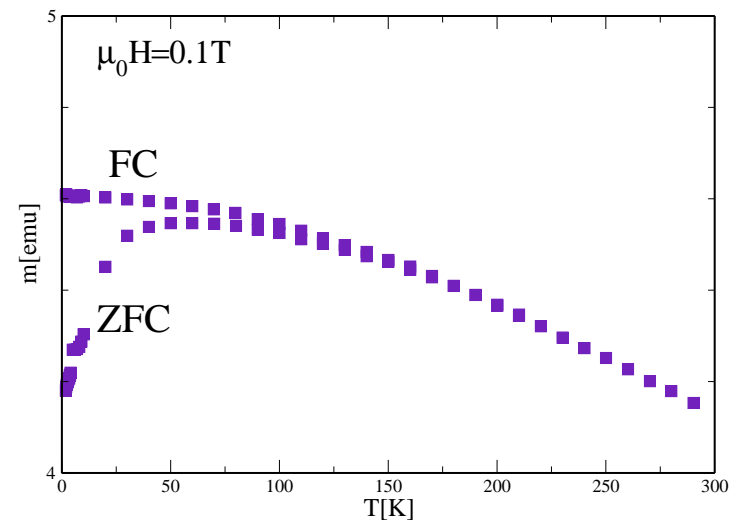
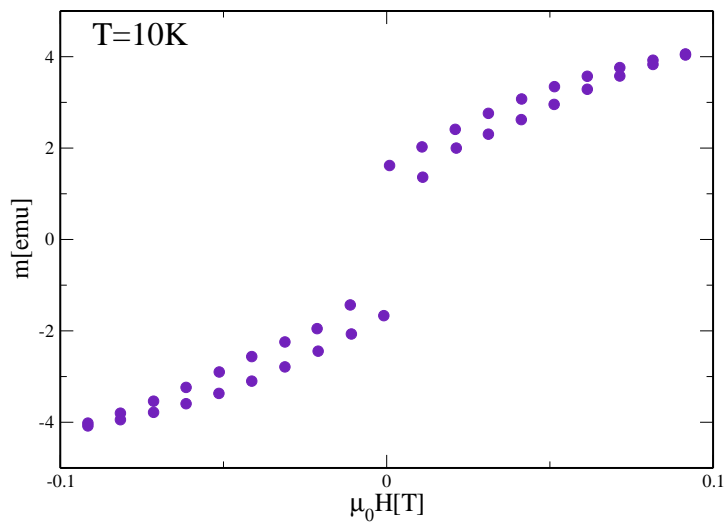
## \* Magnetska svojstva

- ◇ magnetska histereza
- ◇  $m(T)$
- ◇ relaksacija  $m(t)$

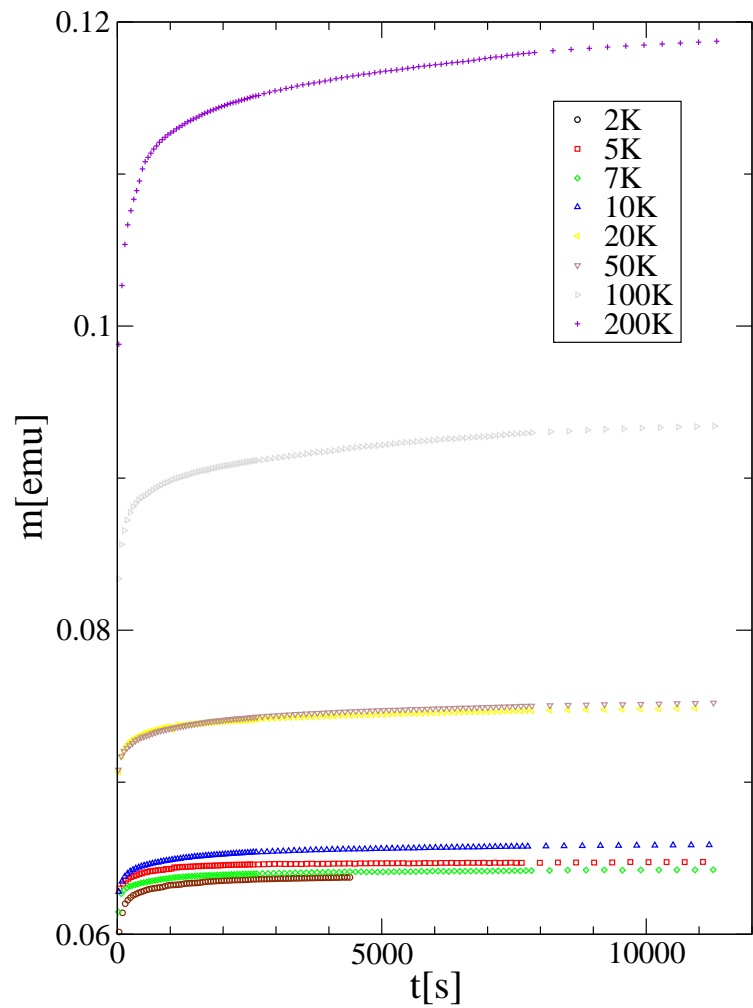
# Magnetska histereza i FC-ZFC razdvajanje

$\text{Fe}_3\text{O}_4$  - 8nm

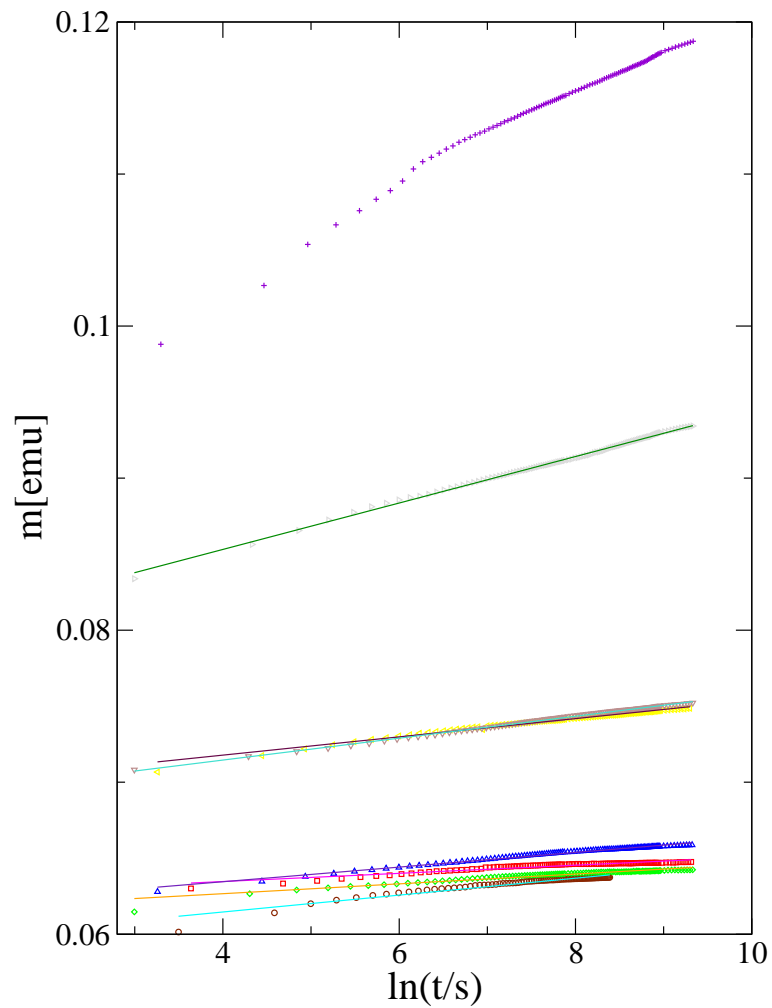
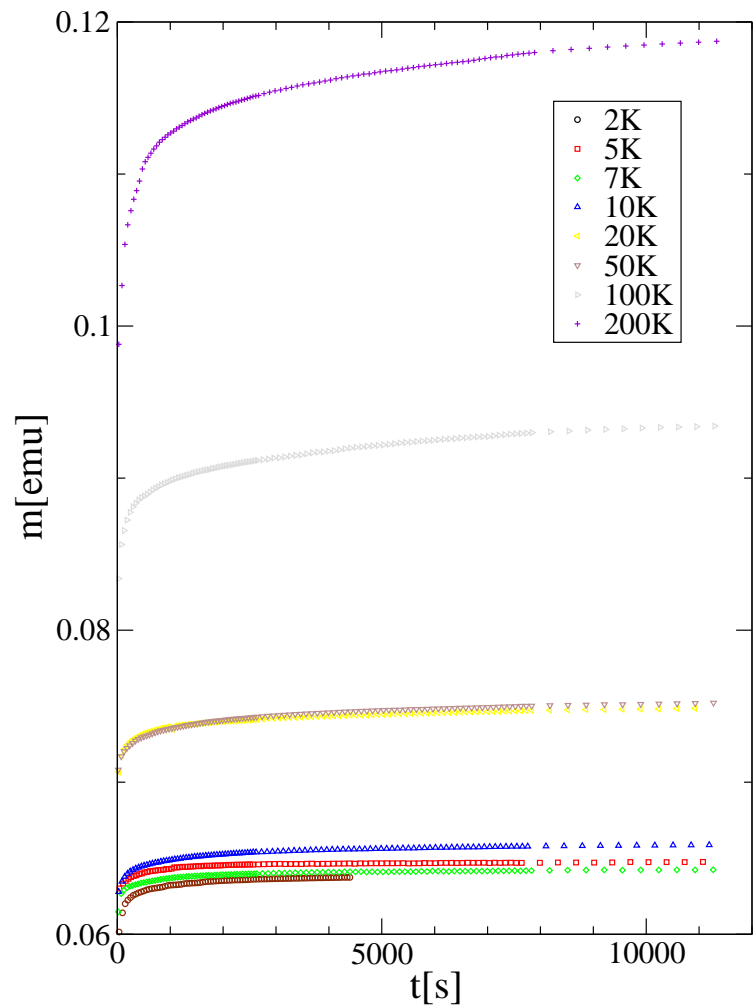
$m$  ne stigne pratiti  $H$



# Uzrok: spora relaksacija magnetizacije

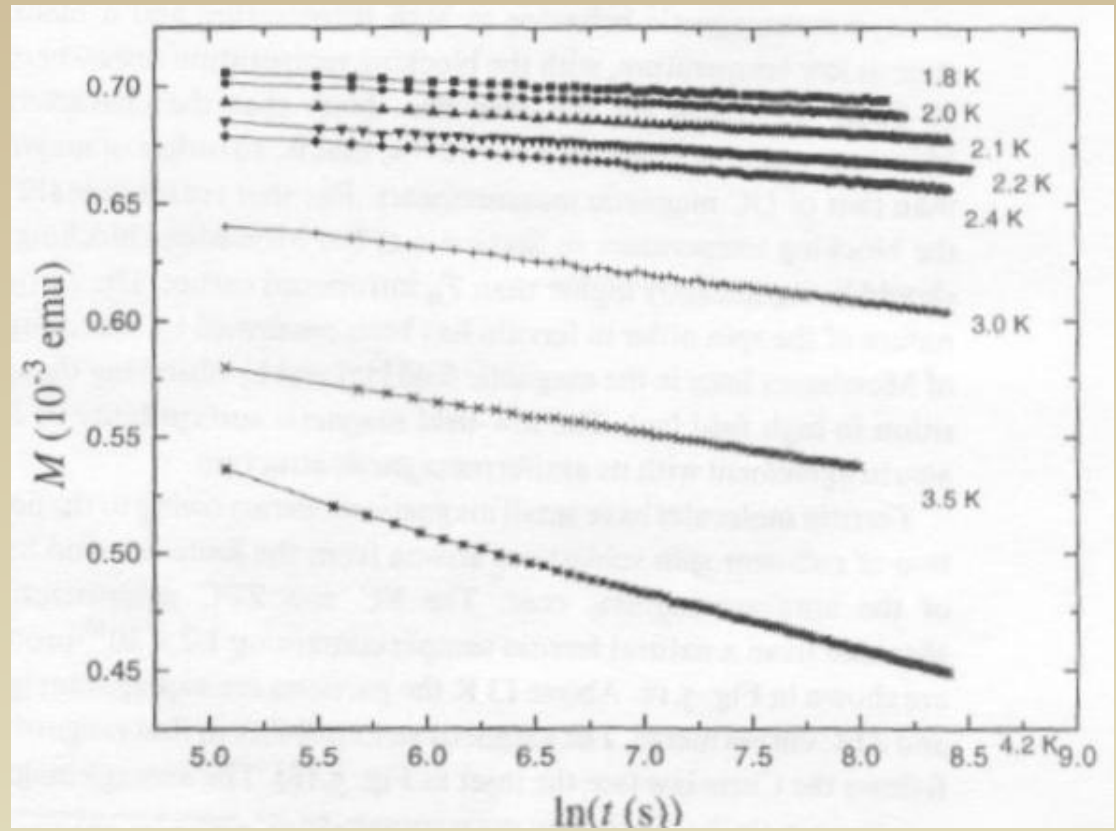


# Uzrok: spora relaksacija magnetizacije



# Ferritin

$\alpha - \text{Fe}_3\text{O}_4$  (hematite)  
iz konjske slezene  
3-7.5nm  
4500  $\text{Fe}^{3+}$  iona  
15 nekompenziranih  
AFM

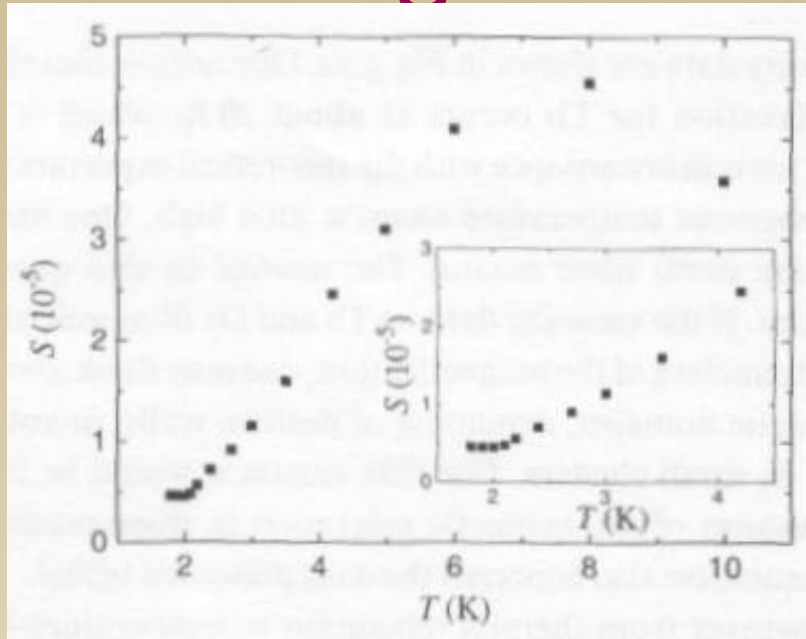


Tejada & Zhang, J.Phys.:Condens.Matter 6 (1994) 263

# $\ln(t)$ relaksacija

- \* Univerzalnost: sustav u kritičnom stanju
  - ◇ i kod monodomenskih čestica
- \* Raspad metastabilnih stanja: jedini opis sporih relaksacija
- \* Model: nailazak na sve veće barijere
  - ◇  $U = U_0(1 - \frac{M}{M_c}), \frac{dM}{dt} \propto e^{-\frac{U_0}{T}(1 - \frac{M}{M_c})}$
  - ◇  $M(t) = M(t_0)(1 - \frac{T}{U_0} \ln \frac{t}{t_0})$
  - ◇ magnetska viskoznost:  $S = -\frac{1}{M(t_0)} \frac{\partial M}{\partial \ln(t)}$

# Magnetska viskoznost



Tejada & Zhang,  
J.Phys.:Condens.Matter  
6 (1994) 263

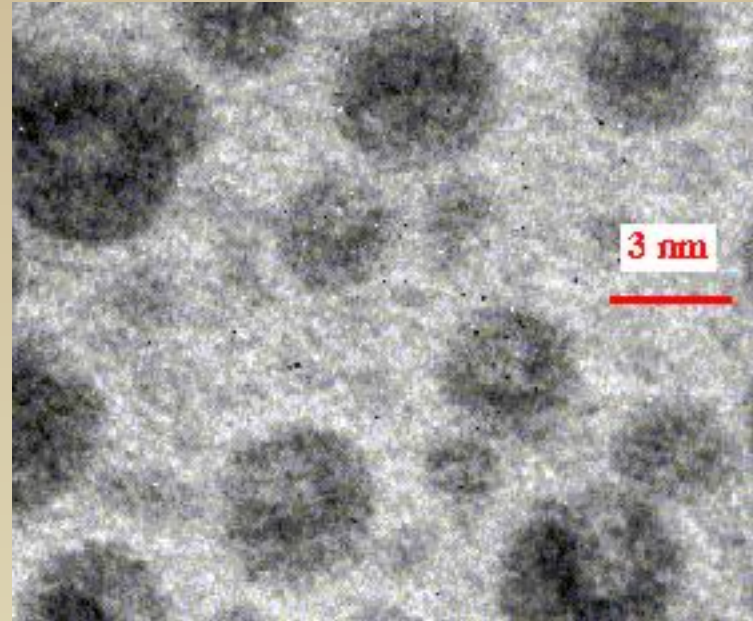
- \*  $S \propto \frac{T}{U_0}$  prestaje vrijediti
- \*  $S$  postaje konstanta ispod određene temperature
- \* Tuneliranje

# Problemi s nanočesticama

- \* Raspodjela po veličinama

- ◇  $U = KV$

- ◇  $\tau = \tau_0 e^{\frac{KV}{kT}}$



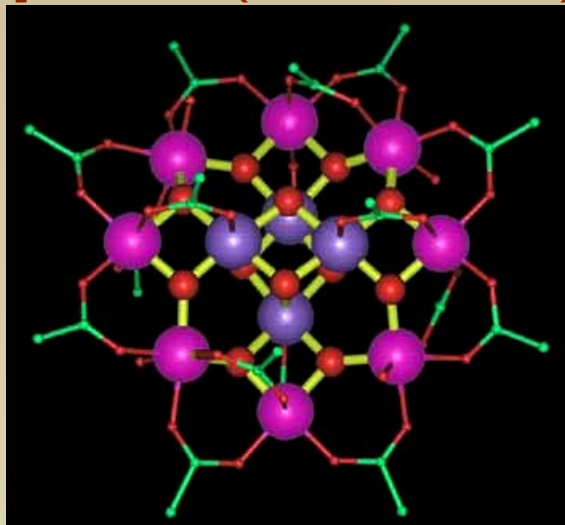
- \* Raspodjela po oblicima

- \* Kako uočiti tuneliranje?

- \* Izvedba aparature ( $T_c(180^\circ)$ )?

[www.lps.u-psud.fr](http://www.lps.u-psud.fr)

# Jednomolekulski magnet

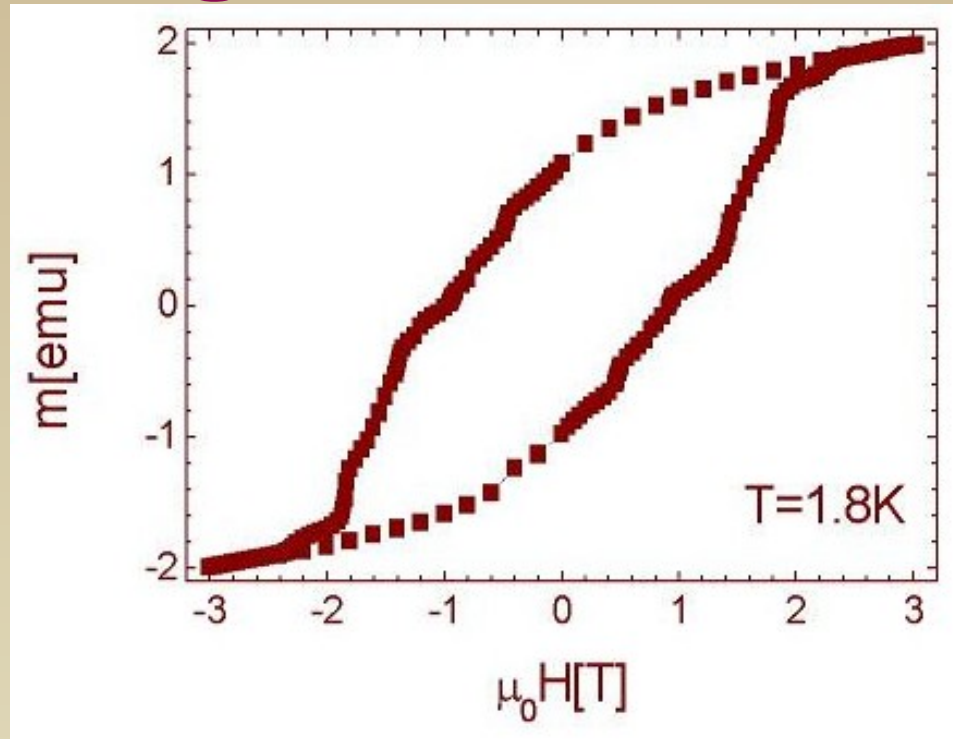


sinteza: T.Lis, Acta Crystallogr. B  
36 (1980) 2042

bistabilnost: Sessoli, Gatteschi,  
Caneschi, Novak, Nature 365 (1993)  
141

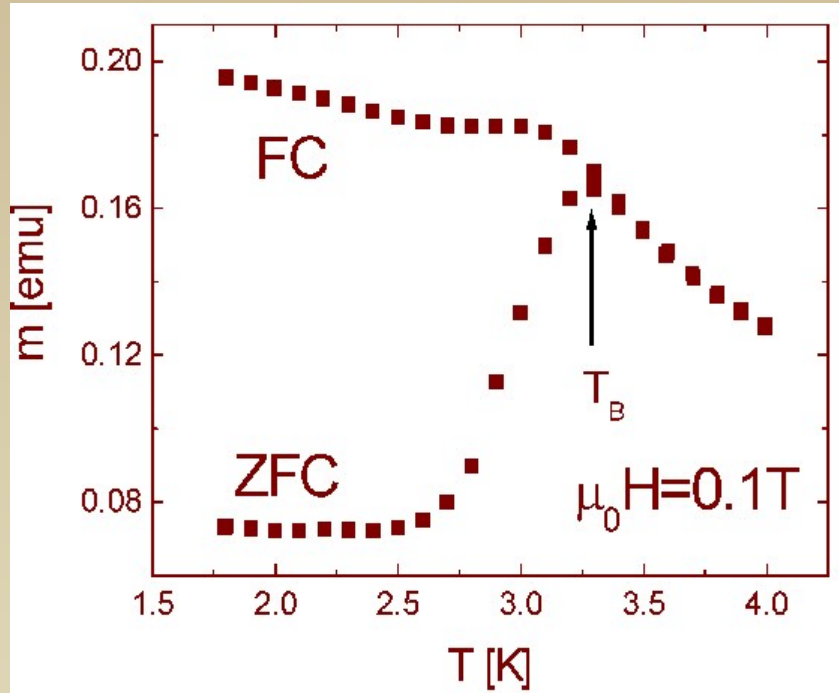
- \* Tetragonska rešetka ( $a = 17,32\text{\AA}$ ,  $c = 12,39\text{\AA}$ )
- \* Spin molekule:  $8 \cdot 2 - 4 \cdot \frac{3}{2} = 10$  (i do 50K; jako međudjelovanje izmjene)
- \* Visoka magnetska anizotropija

# Magnetska histereza

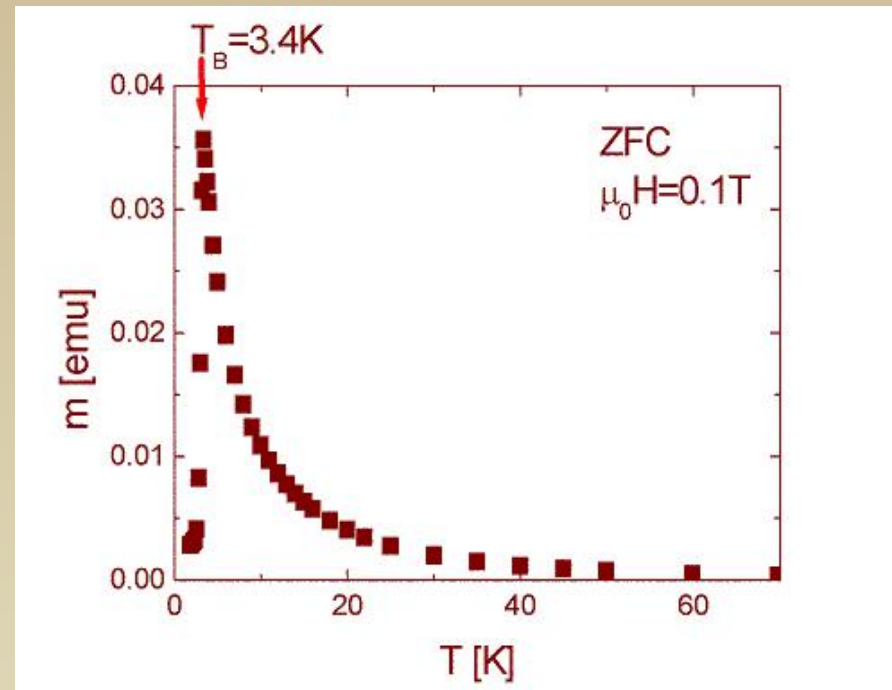
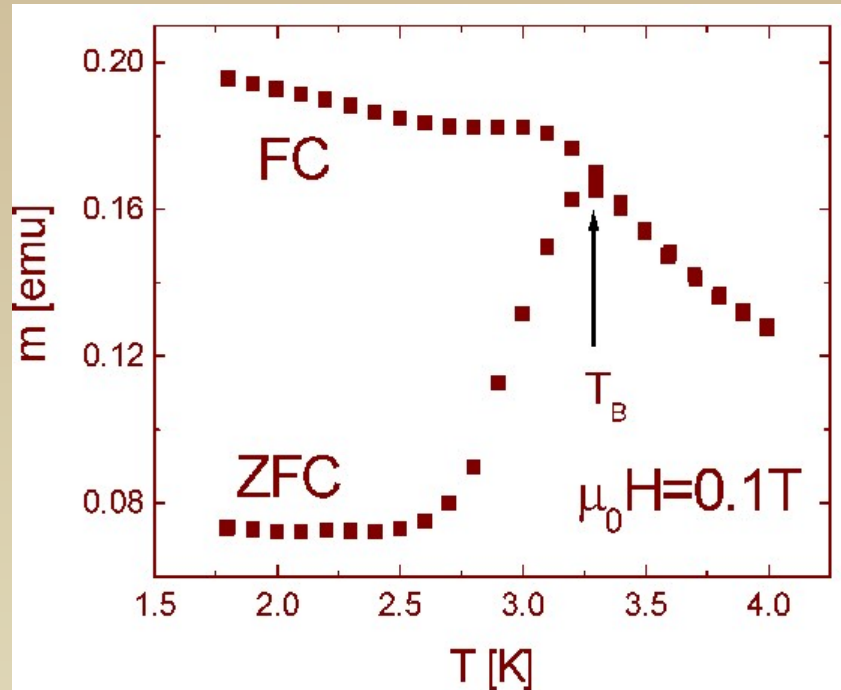


- \* ispod 3K blokiran spin
- \* iznad 3K superparamagnet

# ”FC i ZFC krivulje”



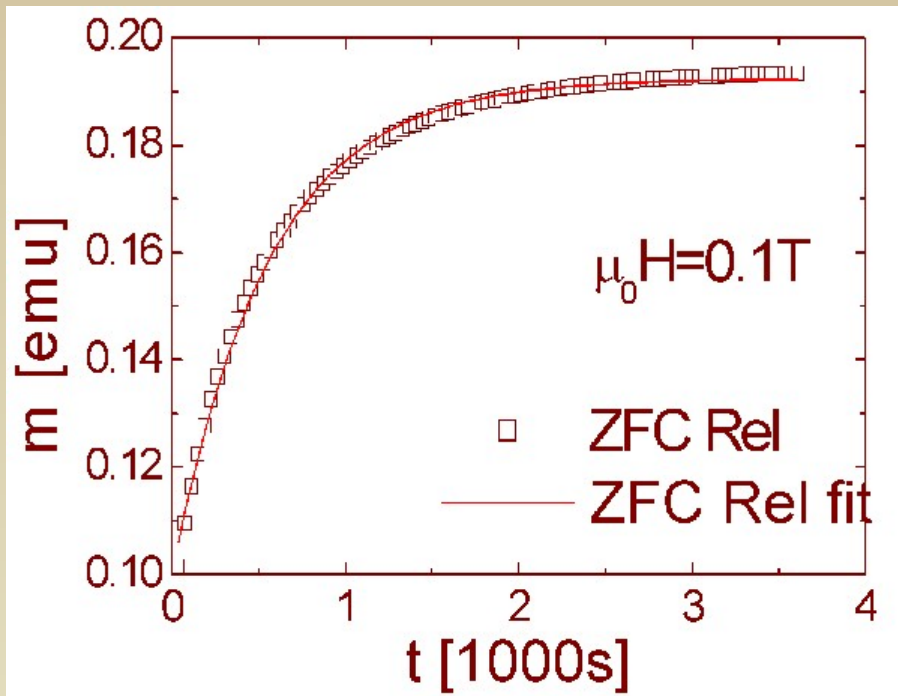
# ”FC i ZFC krivulje”



# Relaksacija magnetizacije

\* Ansambl

\*  $S_z \rightarrow S_z \pm 1$



$$M = M_0(1 - e^{-t/\tau})$$

Arrheniusova aktivacija:

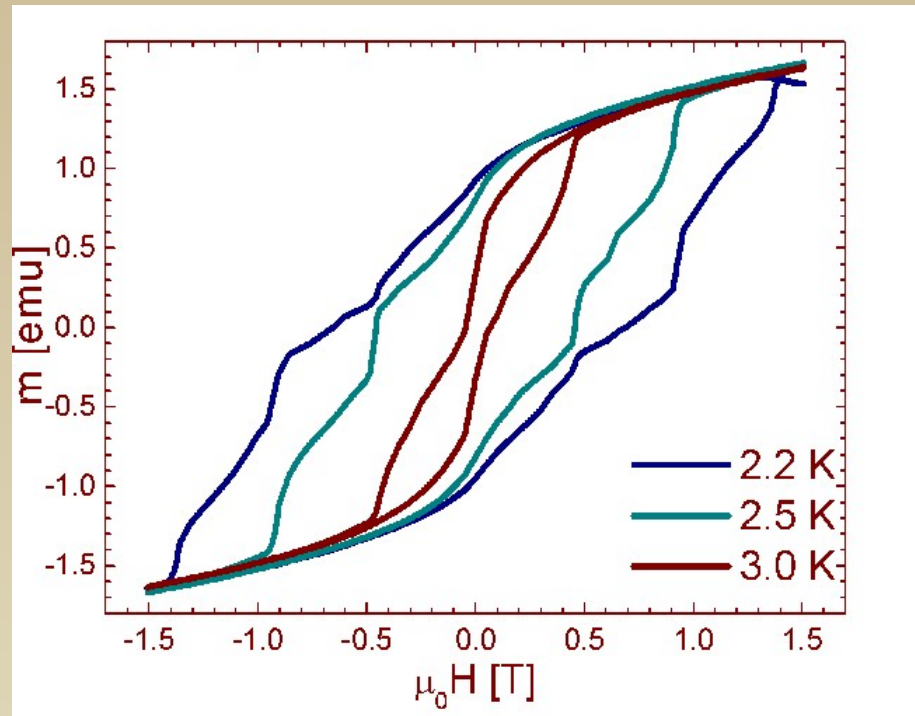
$$\tau = \tau_0 e^{\frac{S^2 D}{kT}}$$

$$\tau_0 = 2,1 \cdot 10^{-7} \text{ s}$$

$$D/k = 0,61 \text{ K}$$

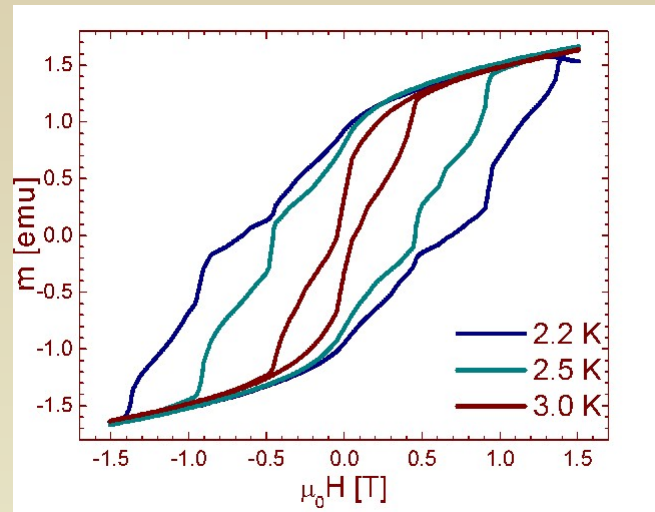
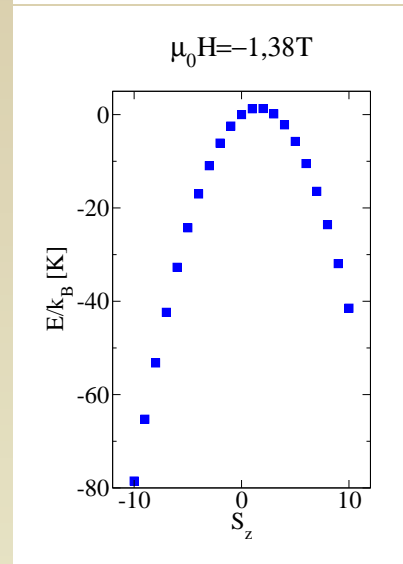
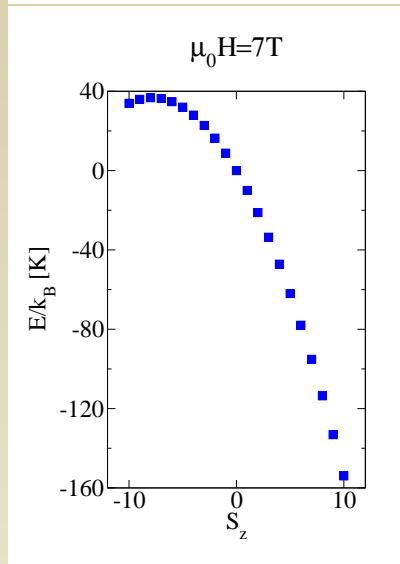
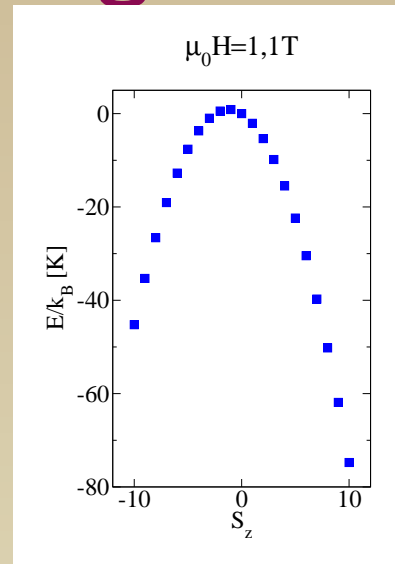
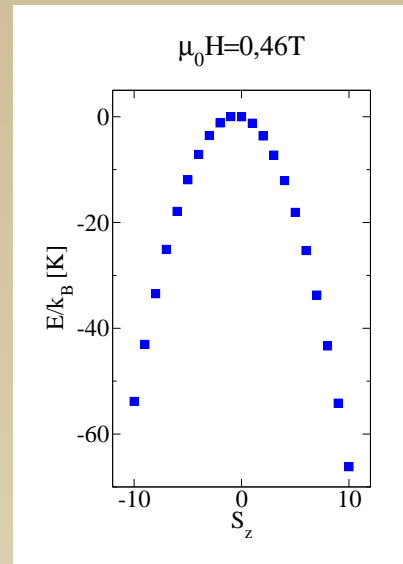
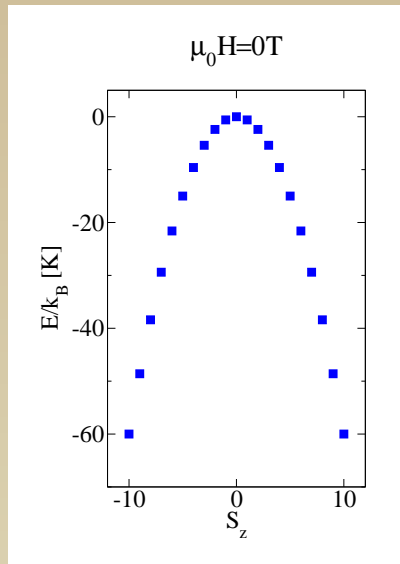
T	20K	10K	7K	5K	4K	3,5K	3K	2K	1K
$\tau$	4,4 $\mu\text{s}$	0,093ms	1,23ms	0,042s	0,88s	7,8s	140s	43d	2Tg

# Kvantna histereza



- \* Relaksacija brža pri nekimi poljima
- \* Rezonantno tuneliranje?
- \* Friedman, Sarachik, Tejada, Ziolo: PRL **76** (1996) 3830

# Proces magnetiziranja



# Hamiltonijan

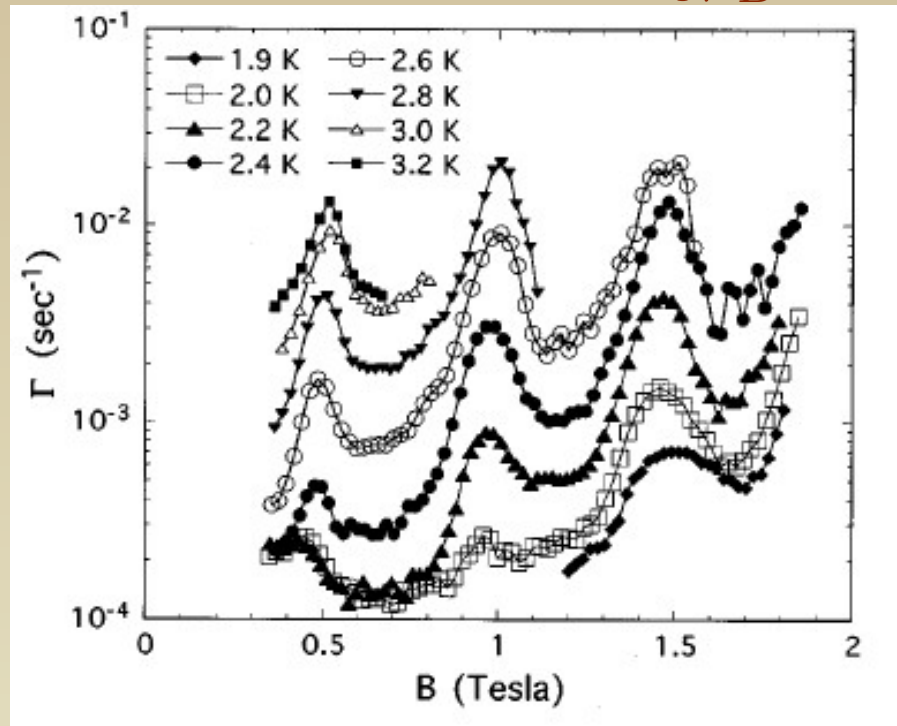
$$* \mathcal{H} = -DS_z^2 - g\mu_B H_z S_z$$

# Hamiltonijan

- \*  $\mathcal{H} = -DS_z^2 - g\mu_B H_z S_z - g\mu_B H_x S_x - C((S^+)^4 + (S^-)^4)$
- \*  $D/k = 0,61K, C/k = 0.03mK$
- \* Svojstvene energije:  $E = -DS_z^2 - g\mu_B H_z S_z$
- \* Nedijagonalno međudjelovanje
  - ◇ dipolna polja (100G)
  - ◇ nuklearna polja (500G): nasumična (usrednjenje 100-200G)
  - ◇ anizotropija
  - ◇ spin-fonon

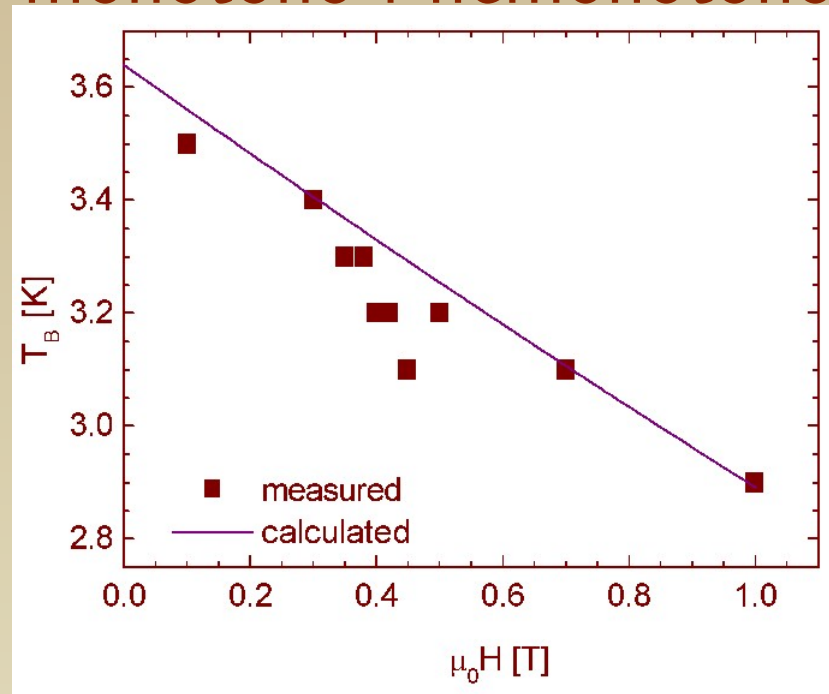
# Rezonantno tuneliranje

$$E_R = E_L \Rightarrow H_z = \frac{D}{g\mu_B} \cdot n$$



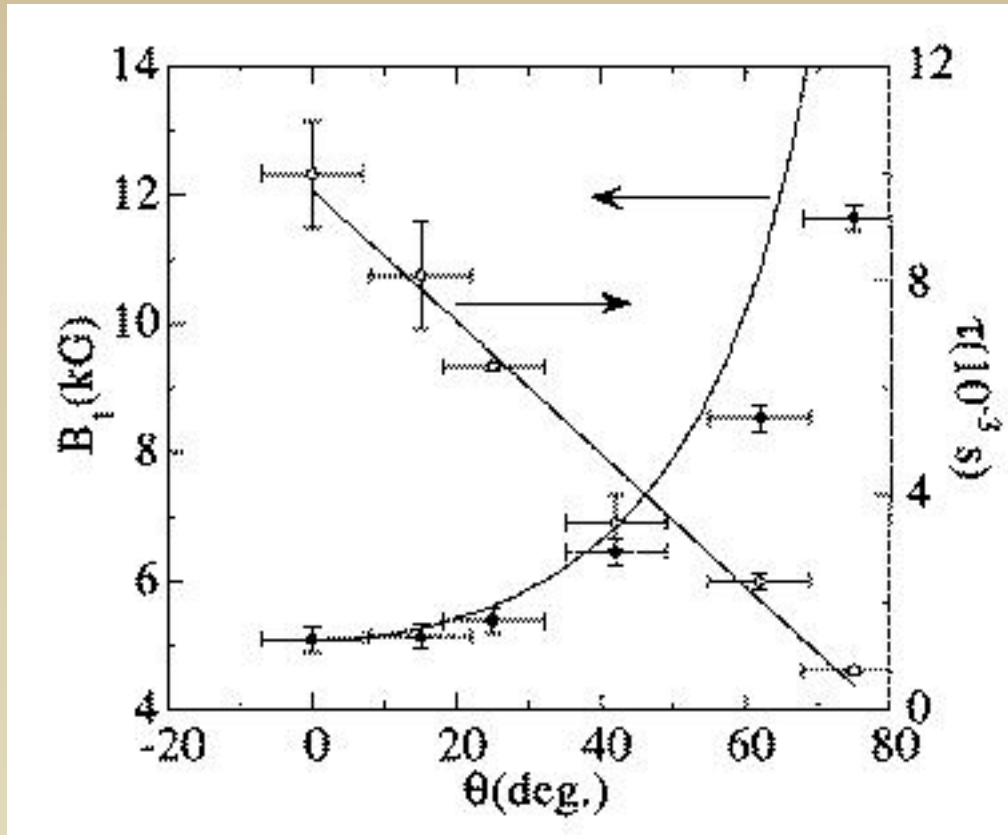
Hernández et al, PRB 55 (1997) 5858

# Rezonantno tuneliranje monotono i nemonotono



- \*  $H_z$  mijenja barijeru
- \*  $H_z$  ostvaruje rezonanciju

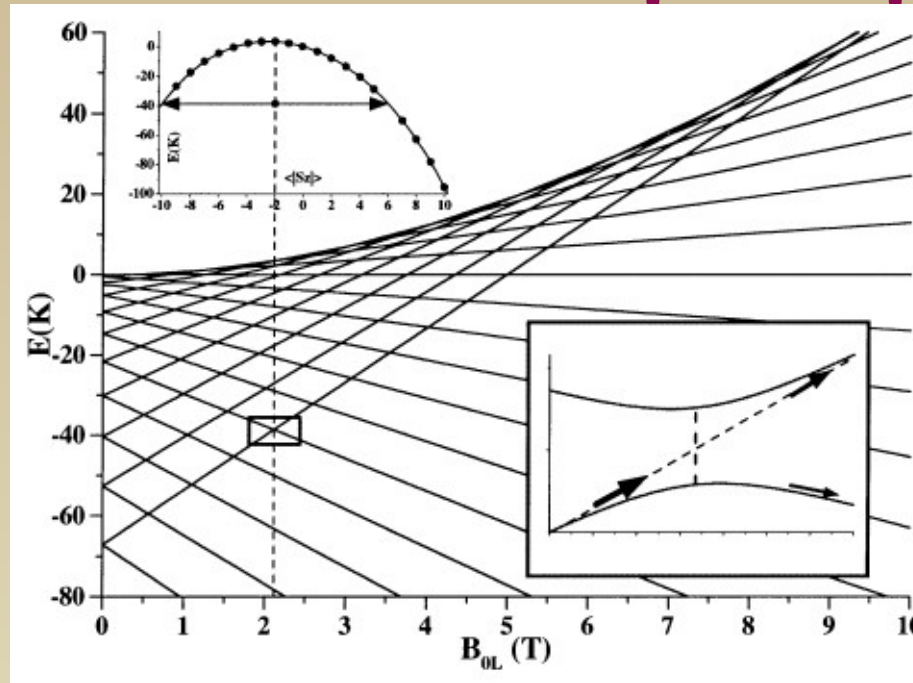
# Rezonantno tuneliranje



Hernández,  
Zhang, Luis,  
Bartolomé,  
Tejada, Ziolo,  
Europhys.Lett.  
35 (1996) 301

$$H_0 \frac{1}{\cos \theta}$$

# Landau-Zener pristup



\* Tunneliranje  $S_z$  iz  $m$  u  $n - m$

$$* P_{m,n} = 1 - e^{-\frac{\pi \Delta^2}{2g\mu_B(2m-n)\frac{dH}{dt}}}$$

# Mehanizam prijelaza

\* Transverzalno polje utječe na tuneliranje

$$* \Delta\epsilon_{mm'} = \frac{2D}{[(m'-m-1)!]^2} \cdot \sqrt{\frac{(S+m')!(S-m)!}{(S-m')!(S+m)!}} \cdot \left(\frac{H_x}{2D}\right)^{m'-m}$$

◇ Garanin i Chudnovsky: PRB 56 (1997) 11102

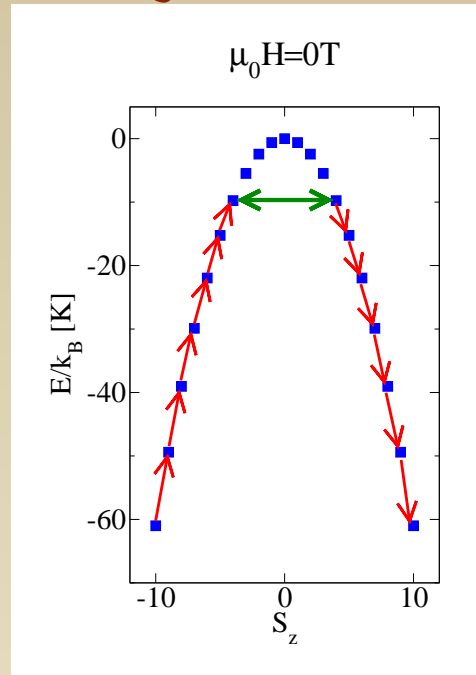
$$◇ \Delta\epsilon_{mm'} = 2V_{m,m+1} \frac{1}{\epsilon_{m+1}-\epsilon_m} V_{m+1,m+2} \frac{1}{\epsilon_{m+2}-\epsilon_{m+1}} \dots V_{m'-1,m'}$$

$$◇ V_{m,m+1} = \langle m | H_x S_x | m+1 \rangle = \frac{1}{2} H_x \sqrt{S(S+1) - m(m+1)}$$

$-m, m'$	10	9	8	7	6	5	4	3	2	1
$\Gamma$	2,1E-45	1,1E-37	1,7E-30	1,2E-23	3,7E-17	4,7E-11	2,3E-5	3,5E0	1,1E5	3,2E8

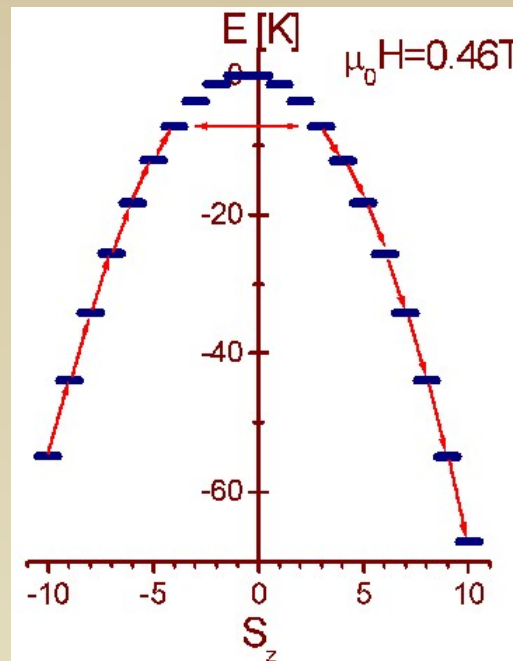
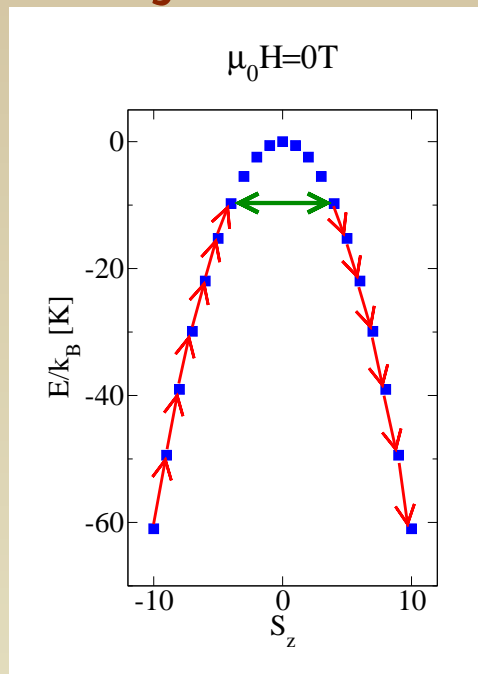
# Termički potpomognuto tuneliranje

Arrhenius + rezonancija  
naseljenost + brzina tuneliranja



# Termički potpomognuto tuneliranje

Arrhenius + rezonancija  
naseljenost + brzina tuneliranja

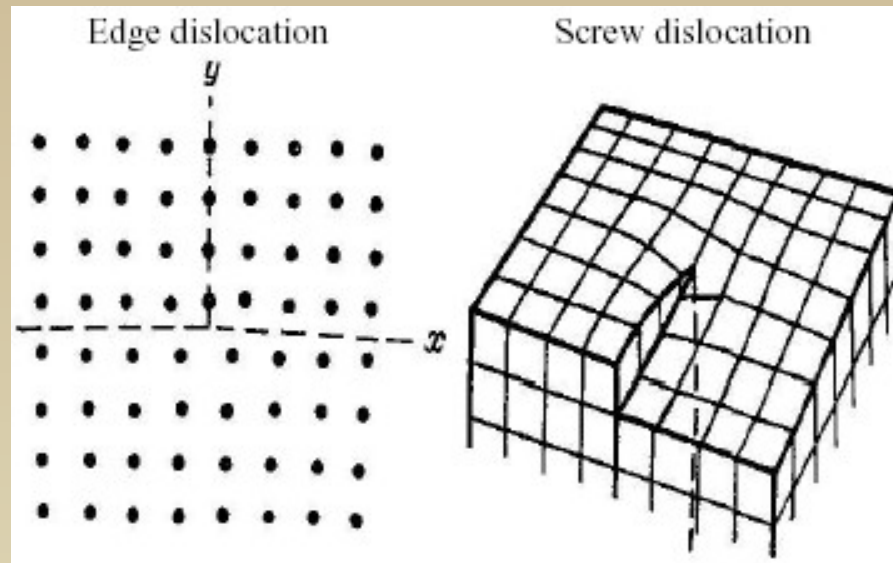


# Nešto tu nedostaje ...

## \* Problemi

- ◇  $H_x$  preslabo
- ◇ odstupanje od  $M \propto e^{-t/\tau}$
- ◇ "smjesa dvaju uzoraka" ?

# Dislokacije



- \* Glavni razlog tuneliranja: dugodosežna izobličenja
- \* Lokalno zakretanje osi anizotropije
- \* Longitud. polje ima lokalnu transverz. komponentu

# Magneto-elastično vezanje

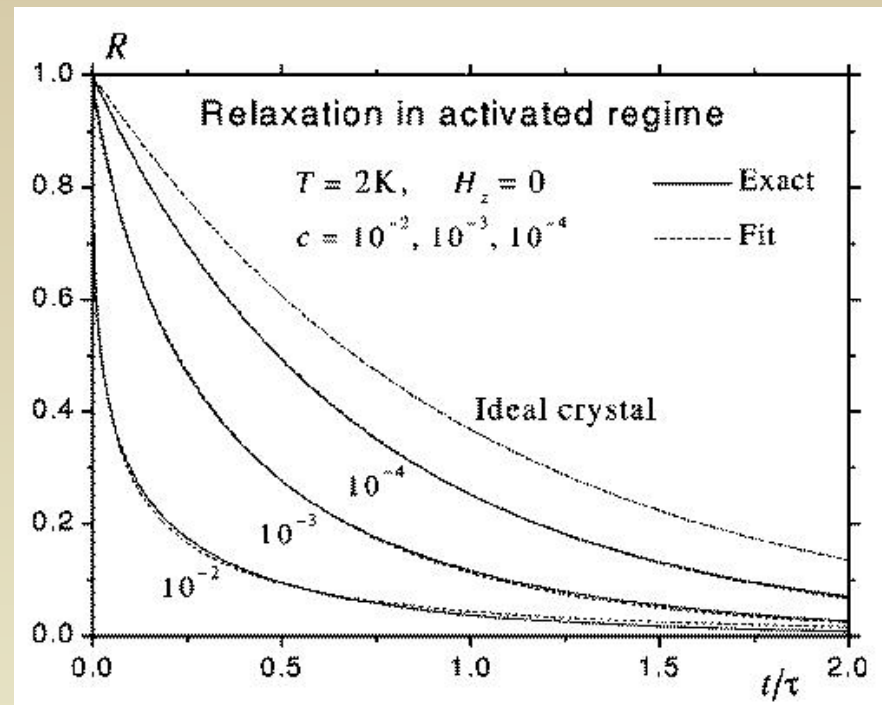
- \*  $\mathcal{H} = -DS_z^2 - g\mu_B H_z S_z + \mathcal{H}_{m-e}$
- \* Garanin & Chudnovsky, PRB **65** (2002) 094423
- \*  $\mathcal{H}_{m-e} = g_1 D(\epsilon_{xx} - \epsilon_{yy})(S_x^2 - S_y^2) + g_2 D\epsilon_{xy}\{S_x, S_y\} + D((g_3\epsilon_{xz} + g_4\omega_{xz})\{S_x, S_z\} + (g_3\epsilon_{yz} + g_4\omega_{yz})\{S_y, S_z\})$
- \* ("rubna" + "vijčana") x ("transverz." + "longitud.")
- \*  $\mathcal{H} = \mathcal{H}_0(z, \text{ili } z') + E(S_{x'}^2 - S_{y'}^2) - H_{x'}S_{x'} - H_{y'}S_{y'}$
- \*  $E = 2D\frac{g(\phi)}{r}$  ;  $H_{\perp} = H_z\frac{g_H(\phi)}{r}$

# Rezultat magneto-elastičnog vezanja

- \* Dobivena su "bolja" transverzalna polja
- \* Objasnjeno postojanje raspodjela rezonantnih polja i visina barijera

Temperatura prijelaza  
kvantno-klasično široko

- \* raspodijeljena



# Drugi jednomolekulski magneti

- \* "Fe<sub>8</sub>"
- \* Mn<sub>12</sub>-formijat
- \* Prstenovi LiFe<sub>6</sub>, Fe<sub>10</sub>, Fe<sub>18</sub> u kompleksnoj strukturi
- \* Kompleksi Cr uokvireni u CN

# Eksperimentalne tehnike

- \* MPMS5 magnetometar \*: (1.8K-300K, 5T)
- \* AC susceptibilnost
- \* EPR
- \* NMR
- \* Mössbauer
- \* Toplinski kapacitet

# Zaključak

- \* Bogatstvo instantonskih rješenja za tuneliranje magnetizacije
- \* Predviđanje eksperimentalnih mogućnosti, ali ne i kako ih izvesti
- \* Uočavanje prelaska na kvantni režim relaksacije magnetizacije kod magnetskih nanočestica
- \* Tuneliranje magnetizacije kod jednomolekulskih magneta vidljivo na makroskopskoj skali
- \* Dislokacije u objašnjavanju magnetske relaksacije

# Da, i?

- \* Kvantni superparamagnetizam?
- \* Makroskopska kvantna koherencija?
- \* Opis relaksacije magnetizacije pri rezonanciji?
- \* Kvantitativna veza između dislokacija i magnetskih svojstava?
- \* Utjecaj kristalne vode i octene kiseline na neuređenost?
- \* Ograničenost magnetskih mjerenja?
- \* Suradnja eksperimentalnih i teorijskih tehnika?
- \* Kvantno računalno? ☺